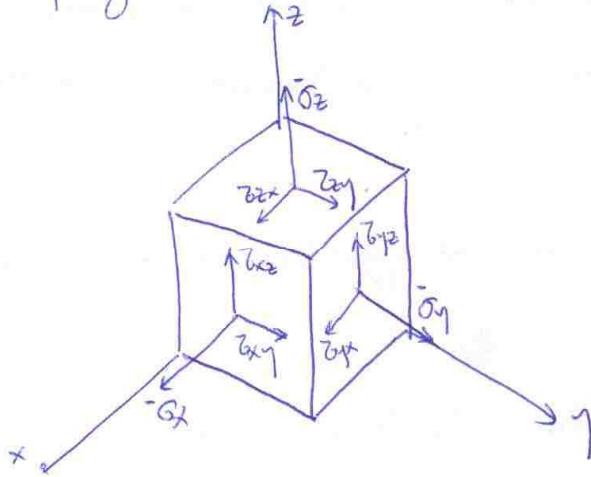


Esfuerzos en un elemento de suelo:



σ : Esfuerzo normal a la superficie
 τ : Esfuerzo de corte o cizalla

En total existen 9 esfuerzos que representan el estado tensional de este elemento. La matriz (tensor) de tensiones, se escribe de la siguiente forma:

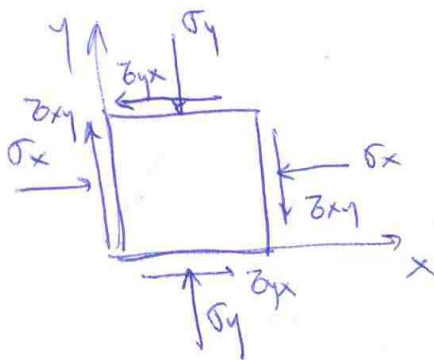
$$\begin{bmatrix} \sigma_x & \tau_{xy} & \tau_{xz} \\ \tau_{yx} & \sigma_y & \tau_{yz} \\ \tau_{zx} & \tau_{zy} & \sigma_z \end{bmatrix} = [\sigma]$$

La convención de signos a utilizar es la siguiente:

- Compresión : $\sigma > 0$
- Tensión : $\sigma < 0$

Los esfuerzos de corte cumplen lo siguiente: $\tau_{ij} = \tau_{ji} = \tau_{ij} = 1, 2, 3$.

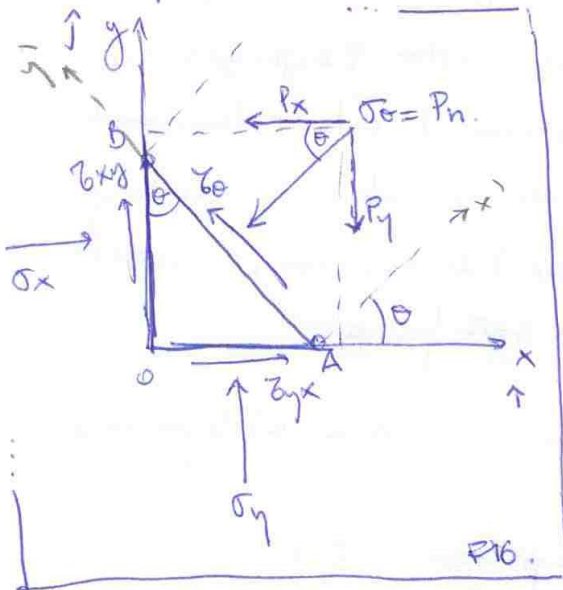
En suelos, generalmente, para simplificar los problemas, los esfuerzos se reducen a un estado bidimensional, i.e.



$$\Rightarrow [\sigma] = \begin{bmatrix} \sigma_x & \tau_{xy} \\ \tau_{yx} & \sigma_y \end{bmatrix}$$

Tensiones en un plano

Se tiene un elemento bidimensional con un estado tensional cualquiera (al igual que el anterior), y se buscan los esfuerzos en un plano oblicuo:



Equilibrio de fuerzas (por nd. de ancho).

$$\sum F = 0:$$

$$\uparrow) P_x \cdot \overline{AB} = \sigma_x \cdot \overline{OB} + \tau_{yx} \cdot \overline{OA}$$

$$\uparrow) P_y \cdot \overline{AB} = \tau_{xy} \cdot \overline{OB} + \sigma_y \cdot \overline{OA}$$

$$\text{Pero: } \overline{OA} = \overline{AB} \cdot \text{sen } \theta$$

$$\wedge \overline{OB} = \overline{AB} \cdot \text{cos } \theta.$$

$$\Rightarrow \uparrow) P_x = \sigma_x \text{cos } \theta + \tau_{yx} \cdot \text{sen } \theta \quad (1)$$

$$\uparrow) P_y = \tau_{xy} \text{cos } \theta + \sigma_y \cdot \text{sen } \theta. \quad (2)$$

~~El elemento de ancho unitario.~~

Además:

$$\sigma_\theta = P_x \text{cos } \theta + P_y \text{sen } \theta \quad (3)$$

$$\wedge \tau_\theta = P_y \text{cos } \theta - P_x \text{sen } \theta. \quad (4)$$

De (1) en (3) y (2) en (3)

$$\Rightarrow \sigma_\theta = (\sigma_x \text{cos}^2 \theta + \tau_{yx} \text{sen } \theta \text{cos } \theta) + (\tau_{xy} \text{sen } \theta \text{cos } \theta + \sigma_y \text{sen}^2 \theta)$$

$$\boxed{\sigma_\theta = \sigma_x \text{cos}^2 \theta + \sigma_y \text{sen}^2 \theta + 2\tau_{xy} \text{sen } \theta \text{cos } \theta} \quad (5)$$

De (1) en (4) y (2) en (4):

(2)

$$\Rightarrow \tau_{\theta} = \tau_{xy} \cos^2 \theta + \sigma_y \sin \theta \cos \theta - \sigma_x \cos \theta \sin \theta - \tau_{xy} \sin^2 \theta.$$

$$\boxed{\tau_{\theta} = \tau_{xy} (\cos^2 \theta - \sin^2 \theta) - (\sigma_x - \sigma_y) \sin \theta \cos \theta} \quad (6)$$

Recurriendo a las identidades trigonométricas:

$$\cos 2\theta = \cos^2 \theta - \sin^2 \theta.$$

$$\sin 2\theta = \sin \theta \cdot \cos \theta + \sin \theta \cdot \cos \theta = 2 \sin \theta \cos \theta$$

$$\wedge \cos 2\theta = 1 - 2\sin^2 \theta \Rightarrow \sin^2 \theta = \frac{1 - \cos 2\theta}{2}$$

$$\wedge \cos 2\theta = 2\cos^2 \theta - 1 \Rightarrow \cos^2 \theta = \frac{1 + \cos 2\theta}{2}$$

\Rightarrow en (5) y (6)

$$\sigma_{\theta} = \sigma_x \left(\frac{1 + \cos 2\theta}{2} \right) + \sigma_y \left(\frac{1 - \cos 2\theta}{2} \right) + \tau_{xy} \sin 2\theta$$

$$\therefore \boxed{\sigma_{\theta} = \left(\frac{\sigma_x + \sigma_y}{2} \right) + \left(\frac{\sigma_x - \sigma_y}{2} \right) \cos(2\theta) + \tau_{xy} \sin(2\theta)} \quad (A)$$

$$\cdot \boxed{\tau_{\theta} = \tau_{xy} \cos(2\theta) - \left(\frac{\sigma_x - \sigma_y}{2} \right) \sin(2\theta)} \quad (B)$$

Se puede obtener además, de igual forma, el esfuerzo en el eje \perp a x'

$$\boxed{\sigma_{y'} = \left(\frac{\sigma_x + \sigma_y}{2} \right) - \left(\frac{\sigma_x - \sigma_y}{2} \right) \cos(2\theta) - \tau_{xy} \sin(2\theta)} \quad (C) //$$

Una observación: "La suma de tensiones normales es un invariante del estado de tensiones", i.e.: $\boxed{\sigma_x + \sigma_y = \sigma_{x'} + \sigma_{y'}} \in \mathbb{R}^2$

Direcciones principales:

Se obtienen cuando $\tau_{x'y'} = 0$.

$$\text{Pero } \tau_{x'y'} = \tau_{xy} \cos(2\theta) - \frac{(\sigma_x - \sigma_y)}{2} \sin(2\theta) = 0.$$

$$\Rightarrow \boxed{\tan(2\theta) = \pm \frac{2\tau_{xy}}{(\sigma_x - \sigma_y)}}.$$

Utilizando las relaciones trigonométricas:

$$\text{sen}(2\theta) = \pm \frac{\tan(2\theta)}{\sqrt{1 + \tan^2(2\theta)}} = \pm \frac{\tau_{xy}}{\sqrt{\frac{(\sigma_x - \sigma_y)^2}{4} + \tau_{xy}^2}}$$

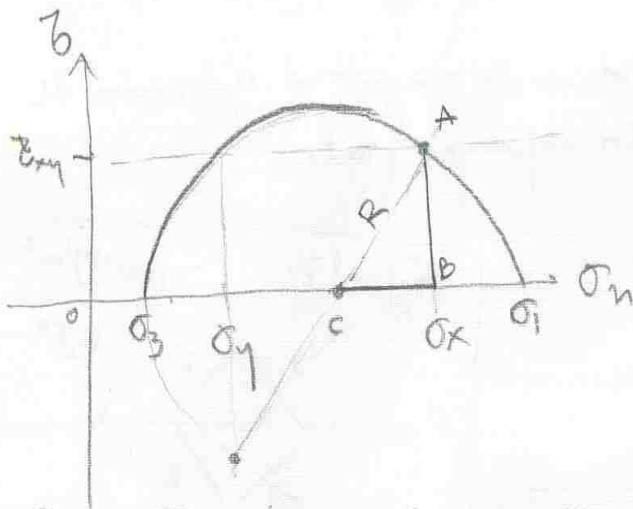
$$\wedge \cos(2\theta) = \pm \frac{1}{\sqrt{1 + \tan^2(2\theta)}} = \pm \frac{\frac{1}{2}(\sigma_x - \sigma_y)}{\sqrt{\frac{(\sigma_x - \sigma_y)^2}{4} + \tau_{xy}^2}}$$

se sustituyen
en (A), (B) y
(C):

Se obtienen, entonces, los valores de las tensiones ppales en fn del estado tensional inicial: $\sigma_1 > \sigma_2 > \sigma_3$, sup σ_x y σ_3 .

$$\boxed{\begin{aligned} \sigma_1 &= \left(\frac{\sigma_x + \sigma_y}{2}\right) + \sqrt{\left(\frac{\sigma_x - \sigma_y}{2}\right)^2 + \tau_{xy}^2} \\ \sigma_3 &= \left(\frac{\sigma_x + \sigma_y}{2}\right) - \sqrt{\left(\frac{\sigma_x - \sigma_y}{2}\right)^2 + \tau_{xy}^2} \end{aligned}}$$

Esto se puede visualizar directamente en un círculo de Mohr (3)



$$\overline{OC} = \left(\frac{\sigma_x + \sigma_y}{2} \right)$$

Lo que falta para encontrar σ_1 , es sumar el radio al valor $|\overline{OC}|$.

Pero $\overline{BC} = \left(\frac{\sigma_x - \sigma_y}{2} \right)$ \wedge $\overline{BA} = \tau_{max}$.

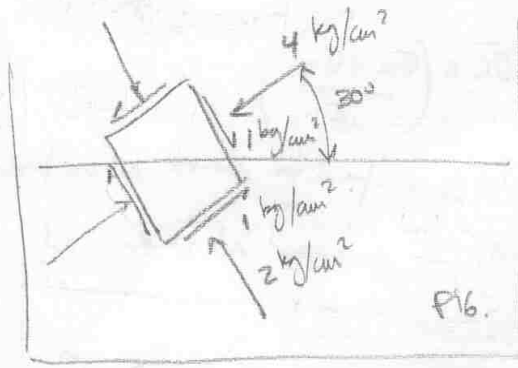
$$\Rightarrow \sigma_1 = \left(\frac{\sigma_x + \sigma_y}{2} \right) + R, \text{ donde } R^2 = \tau_{max}^2 + \left(\frac{\sigma_x - \sigma_y}{2} \right)^2 //$$

Claramente, y se puede deducir, el esfuerzo de corte máximo,

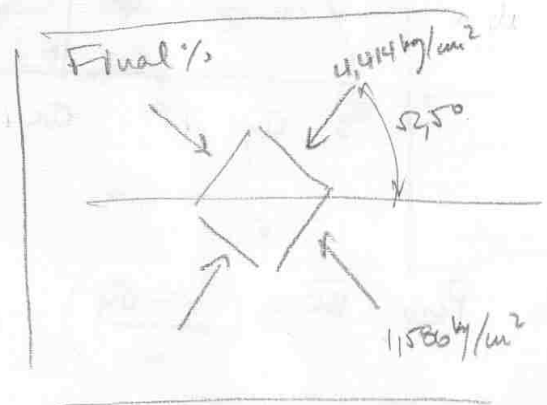
τ_{max} , se encuentra cuando $\sigma_x = \sigma_y$, que equivale a:

$$\boxed{\tau_{max} = \frac{\sigma_1 - \sigma_3}{2}} \quad (\text{El ángulo formado es } 2\theta = 90^\circ \Rightarrow \underline{\underline{\theta = 45^\circ}})$$

P11 Se tiene el siguiente estado tensional de un elemento de suelo:



Obtener la magnitud y dirección de los esfuerzos principales:



Sol: Recordar $\sum \sigma_i = cte$

$$\Rightarrow \frac{\sigma_1 + \sigma_3}{2} = \frac{4 + 2}{2} = 3 \text{ kg/cm}^2$$

En círculo de Mohr: $\frac{\Delta \sigma}{2} = \frac{\sigma_1 - \sigma_3}{2} = \text{radio}$

$$\Rightarrow \sigma_1 = \frac{\sigma_x + \sigma_y}{2} + \sqrt{\left(\frac{\sigma_x - \sigma_y}{2}\right)^2 + \tau_{xy}^2} = \frac{4+2}{2} + \sqrt{\left(\frac{4-2}{2}\right)^2 + 1^2} = 3 + \sqrt{2} = 4.414 \text{ kg/cm}^2$$

$$\sigma_3 = \checkmark - \sqrt{\checkmark} = \frac{4+2}{2} - \sqrt{\checkmark} = 3 - \sqrt{2} = 1.586 \text{ kg/cm}^2$$

$$\Rightarrow \frac{\sigma_1 - \sigma_3}{2} = \frac{(3 + \sqrt{2}) - (3 - \sqrt{2})}{2} = \sqrt{2} \text{ kg/cm}^2$$

La dirección principal se obtiene para $\frac{d\sigma_{x'y'}}{d\theta} = 0$

$$\Rightarrow \text{tg}(2\theta) = \frac{2 \cdot \tau_{xy}}{\sigma_x - \sigma_y} = \frac{2 \cdot 1}{4 - 2} = \frac{2}{2} = 1$$

$$2\theta = \arctg(1) = 45^\circ \Rightarrow \theta = 22.5^\circ$$

Luego, el ángulo que forma la dirección principal mayor con la horizontal es $30 + \theta = 52.5^\circ$ y el plano \overline{DD} .

